

Circuitos Elétricos

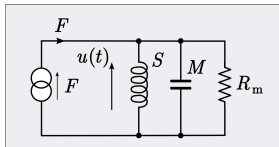
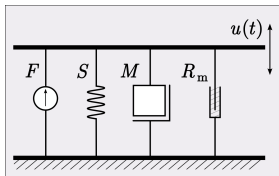
Ana Luiza Ferrari, Lucas Antunes Reis, Yuri Peres Asnis

Instituto de Física de São Carlos - USP

17 de novembro de 2019

Introdução Teórica

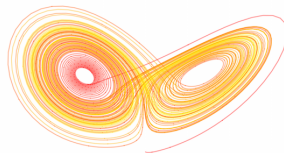
Motivação para o circuito escolhido



Análogos mecânicos



Existe **caos** em circuitos elétricos?



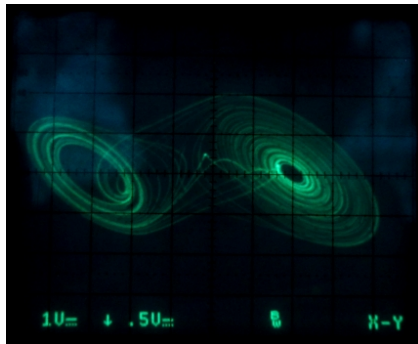
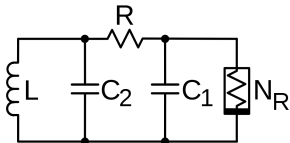
- A teoria do caos foca em sistemas dinâmicos **extremamente sensíveis a condições iniciais**.
- São determinísticos, mas não previsíveis.

"Chaos: When the present determines the future, but the approximate present does not approximately determine the future."

(Edward Lorenz)

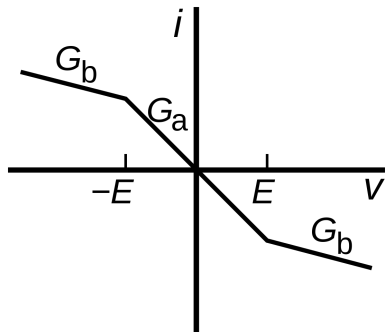
Circuito de Chua: Um paradigma para o caos

- Inventado em 1983 → circuito simples que apresenta **comportamento caótico no mundo real**.



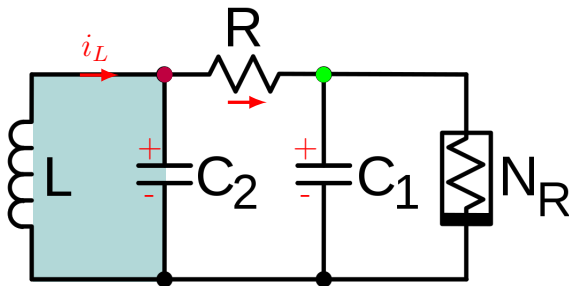
Circuito de Chua: Elementos

- 1 Um indutor.
- 2 Um resistor linear.
- 3 Dois capacitores.
- 4 Um resistor não linear → **diodo de Chua.**



A equação que define o diodo de Chua é

$$i_R = \begin{cases} G_b V + (G_b - G_a)E, & \text{if } V \leq -E \\ G_a V, & \text{if } |V| < E \\ G_b V - (G_b - G_a)E, & \text{if } V \geq E \end{cases}$$

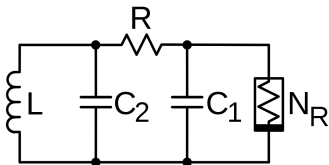


$$1 \quad L \frac{di_L}{dt} = -V_2$$

$$2 \quad \frac{(V_2 - V_1)}{R} = C_1 \frac{dV_1}{dt} + i_R$$

$$3 \quad i_L = \frac{(V_2 - V_1)}{R} + C_2 \frac{dV_2}{dt}$$

Circuito de Chua: dados do problema



- Vamos estudar o circuito para os seguintes parâmetros

$$L = 18mH;$$

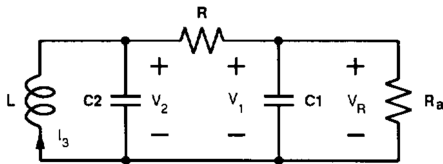
$$C_2 = 100mF;$$

$$C_1 = 10nF;$$

$$G_A = -55/60ms;$$

$$G_b = -9/22ms;$$

$$E = 1V.$$



Circuito equivalente. Aqui, $R_a = 1/G_a$.

- D_0 é a região central da curva do diodo de Chua.
- Se as variáveis não variam com o tempo, encontramos o ponto fixo:

$$i_L = 0,$$

$$V_1 = 0,$$

$$V_2 = 0.$$

Expansão em torno do equilíbrio: $(x, y) = (x_0, y_0) + (\xi, \nu)$

$$\begin{bmatrix} \dot{\xi} \\ \dot{\nu} \end{bmatrix} = M \begin{bmatrix} \xi \\ \nu \end{bmatrix} \longrightarrow \vec{\xi}(t) \equiv \begin{bmatrix} \xi \\ \nu \end{bmatrix} \equiv \vec{\xi}_0 e^{\lambda t} \longrightarrow M \vec{\xi}_0 = \lambda \vec{\xi}_0$$

- A estabilidade do ponto fixo é determinada pelos autovalores de

$$J_a = \begin{bmatrix} 0 & -1/L & 0 \\ 1/C_2 & -G/C_2 & G/C_2 \\ 0 & G/C_1 & -G_a/C_1 \end{bmatrix}$$

- Para $G = 550\mu S$, temos

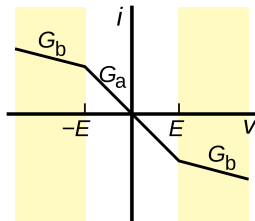
$$\gamma_0 \approx 25291$$

$$\sigma_0 \pm i\omega_0 \approx -5852 \pm i19720$$

Se afasta na direção do autovetor de γ_0 ,

com uma hélice cada vez mais estreita.

Pontos de equilíbrio: Região D_{\pm}



- D_{\pm} são as regiões externas da curva do diodo de Chua.
- Se as variáveis não variam com o tempo, encontramos os pontos fixos:

$$P_- = \begin{bmatrix} \frac{G(G_b - G_a)E}{G + G_b} \\ 0 \\ \frac{(G_a - G_b)E}{G + G_b} \end{bmatrix}, \quad P_+ = \begin{bmatrix} \frac{G(G_a - G_b)E}{G + G_b} \\ 0 \\ \frac{(G_b - G_a)E}{G + G_b} \end{bmatrix}$$

- A estabilidade dos pontos fixos é determinada pelos autovalores de

$$J_b = \begin{bmatrix} 0 & -1/L & 0 \\ 1/C_2 & -G/C_2 & G/C_2 \\ 0 & G/C_1 & -G_b/C_1 \end{bmatrix}$$

- Para $G = 550\mu S$, temos

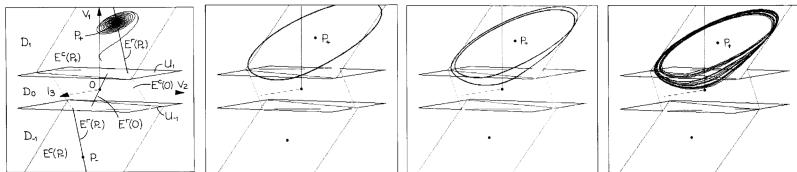
$$\gamma_1 \approx -23284$$

$$\sigma_1 \pm i\omega_1 \approx 1022 \pm i19260$$

Se aproxima na direção do autovetor de γ_1 ,

com uma hélice cada vez mais larga.

Comportamento Global: duplicações de período.

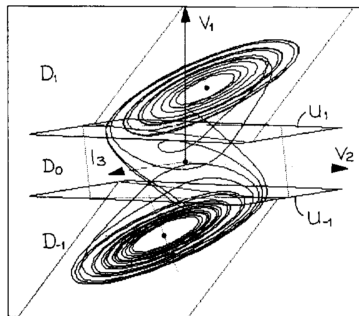


$$R = 2000\Omega$$

- Partimos da região D_+ , onde P_+ é estável e 0 é instável.
- Diminuindo R , P_+ se torna instável e o sistema orbita os pontos fixos.
- O período da órbita é duplicado até o infinito \rightarrow atrator estranho (caos).

Atrator duplo

- Curva do diodo de Chua é uma **função ímpar**.
- Todo atrator entre P_+ e P_0 tem um atrator simétrico em P_- e P_0 .
- Diminuindo R , esperamos observar o atrator duplo.



Trajетórias colapsadas.

Metodologia

Objetivo principal

Simular a rota para o caos no circuito de Chua, partindo das trajetórias estáveis até o atrator estranho, pela **variação da resistência**.

■ Pretendemos observar

- 1 o fenômeno de duplicação de período nas curvas de tensão por tempo dos capacitores;
- 2 a variação do expoente de Lyapunov no processo;
- 3 o diagrama de bifurcações das tensões dos capacitores.

- O sistema de equações diferenciais

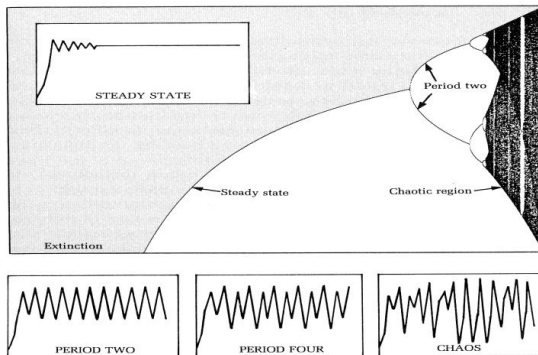
$$\begin{cases} \frac{dV_2}{dt} &= -\frac{(V_2 - V_1)}{RC_2} + \frac{i_L}{C_2} \\ \frac{dV_1}{dt} &= \frac{(V_2 - V_1)}{RC_1} - \frac{i_R}{C_1} \\ \frac{di_L}{dt} &= -\frac{V_2}{L} \end{cases}$$

será resolvido com a função `scipy.integrate.solve_ivp`.

- Essa função é uma variação do método de Runge-Kutta.

- Calcularemos as trajetórias com condições iniciais
 - 1 $i_{T,0}, V_{1,0}, V_{2,0}$ e
 - 2 $(i_{T,0} + \delta i_{T,0}, V_{1,0} + \delta V_{1,0}, V_{2,0} + \delta V_{2,0})$.
- A distância entre as trajetórias deve seguir a tendência $d \propto e^{\lambda t}$.
- Esperamos encontrar $\lambda > 0$ para o atrator estranho.

Diagramas de bifurcação



Exemplo: Mapa logístico.

- Faremos o diagrama de bifurcação plotando os máximos locais da tensão (`scipy.signal.argrelexmax`) em função da resistência R .

Dificuldades previstas

Dificuldade computacional

- Uma EDO diferente deve ser resolvida para cada valor de R .
- Velocidade da função `solve_ivp`.

Dificuldade de escolha de parâmetros

- A velocidade do código \rightarrow escolha das condições iniciais.
- As "perturbações" (Lyapunov) devem ser pequenas, mas maiores que erros numéricos.

Solução

- Profiling \rightarrow escolha do método de integração entre

$\{RK45, RK23, Radau, BDF, LSODA\}$.

- *IEEE Transactions on Circuits and Systems*, **Three steps to Chaos - Part II: A Chua's circuit Primer**, Michael Peter Kennedy.
- *IEEE Transactions on Circuits and Systems*, **A Universal Circuit for Studying and Generating Chaos**, Leon O. Chua, Chai Wah Wu, Anshan Huang and Guo-Qun Zhong.